

Bild A.2: Versuchskörper V13 (Serie A: $R/T \approx 600$, $\lambda \approx 1.0$)

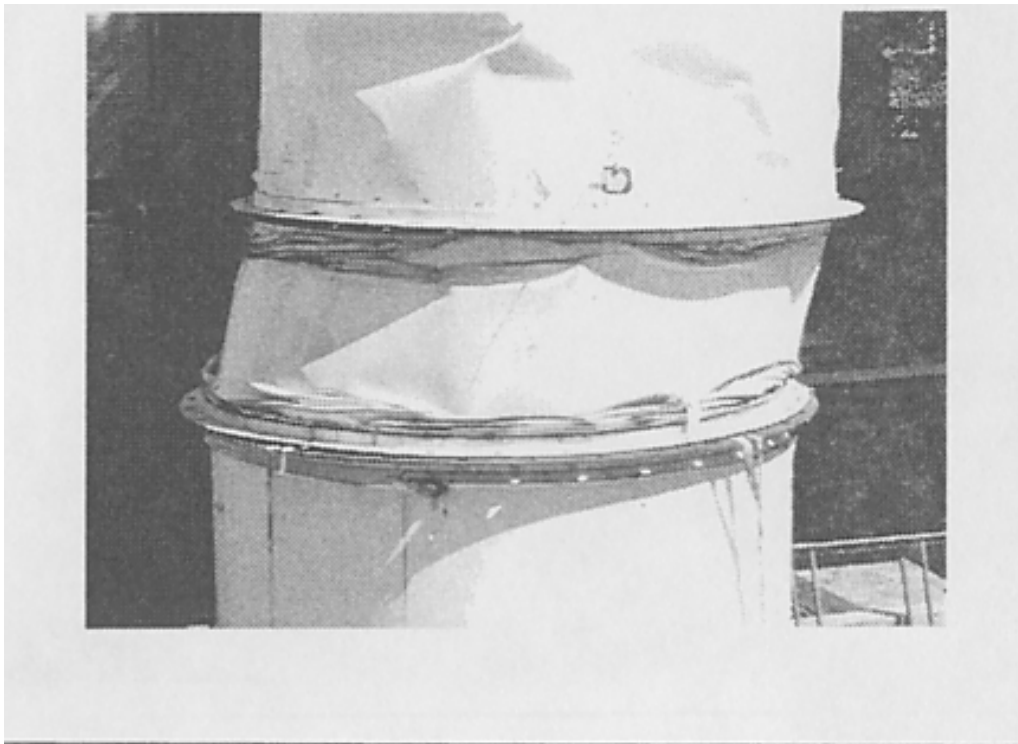


Bild A.3: Versuchskörper V21 (Serie B: $R/T \approx 1000$, $\lambda \approx 1.3$)

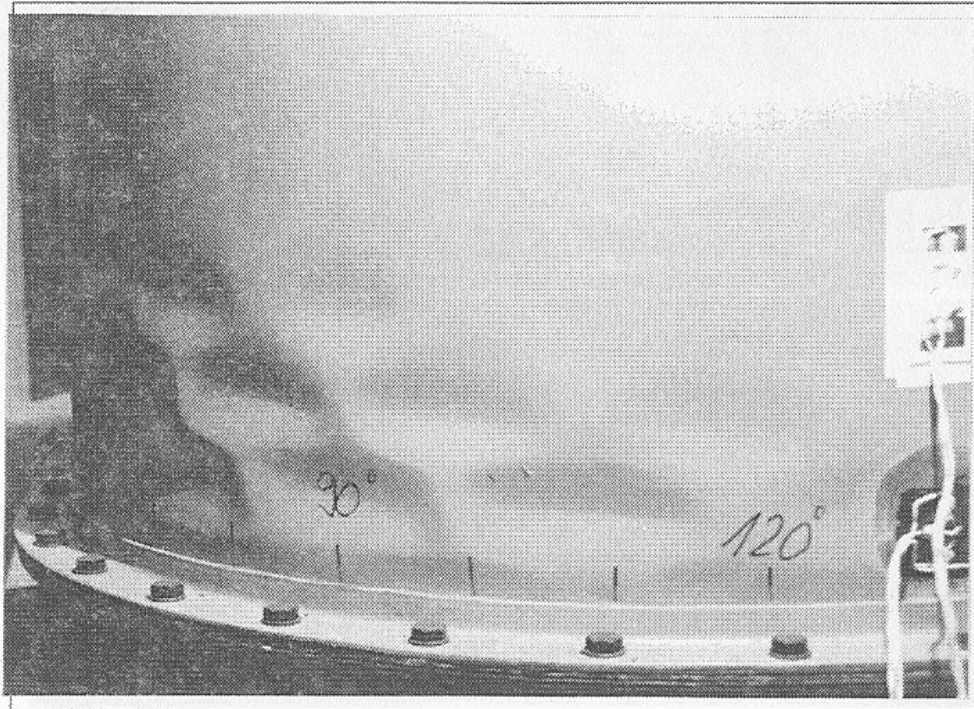


Bild A.9: Versuchskörper E22 im Versuch, unmittelbar nach dem Beulen (Serie C: $R/T \approx 800$, $\lambda \approx 1.6$)

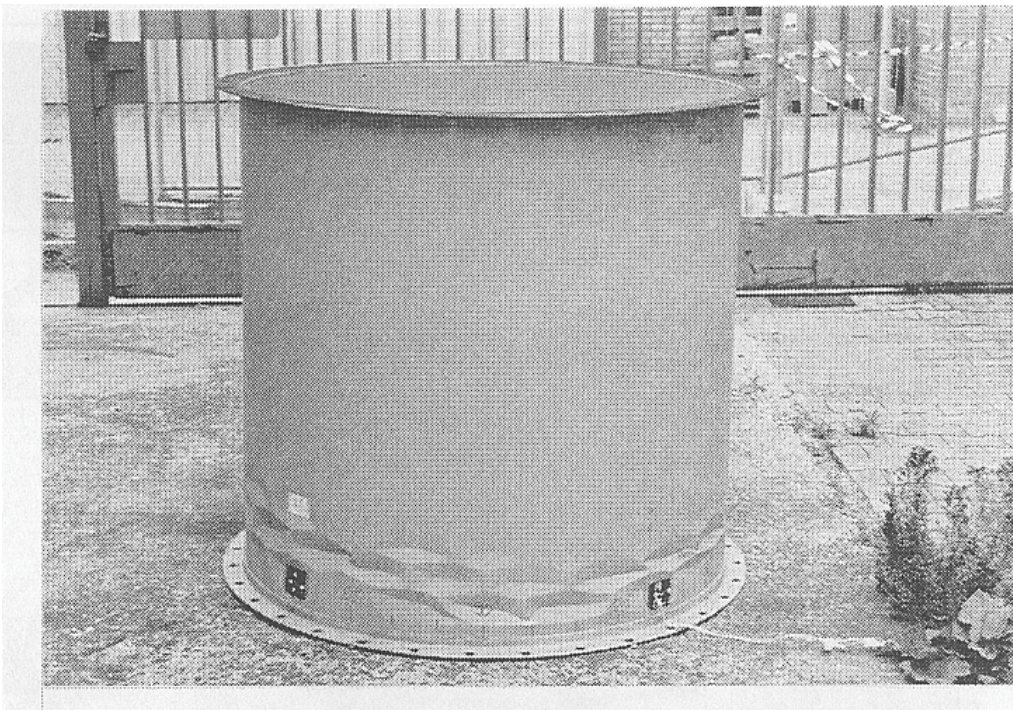


Bild A.10: Versuchskörper E22 nach dem Versuch (Serie C: $R/T \approx 800$, $\lambda \approx 1.6$)

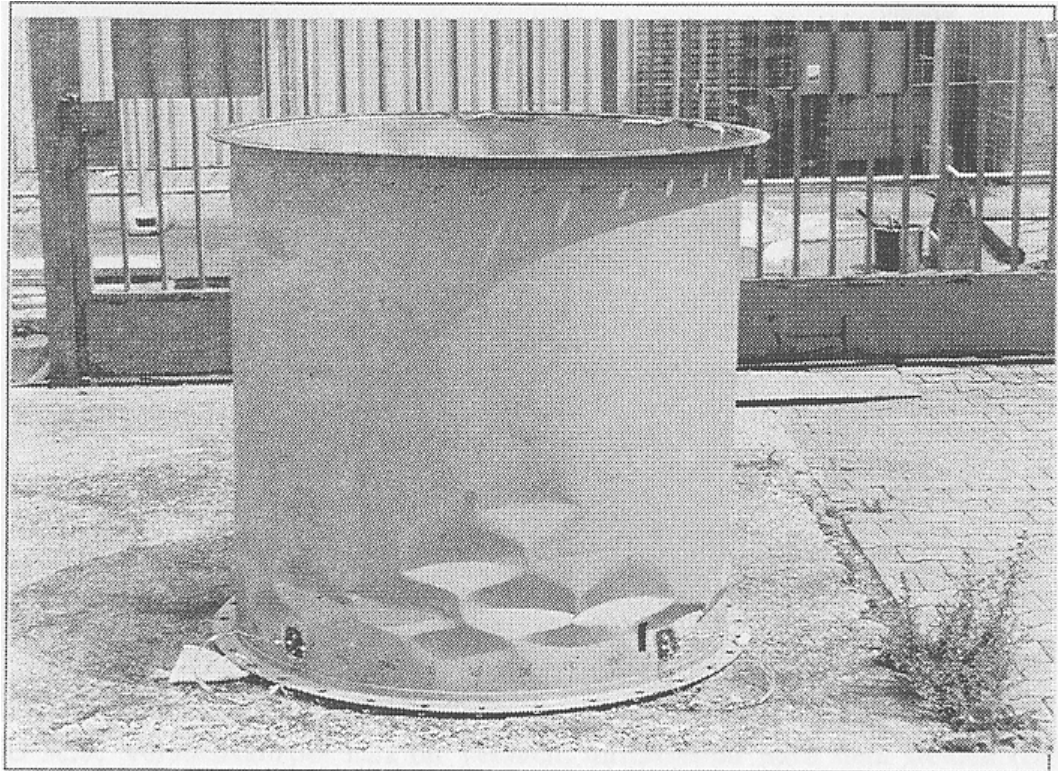


Bild A.13: Versuchskörper E25 bei 270° (Serie C: $R/T \approx 800$, $\lambda \approx 1.6$)

Quelle:

Knödel, P.: Stabilitätsuntersuchungen an kreiszylindrischen stählernen Siloschüssen, Probekörper nach dem Versagen., Dissertation, Karlsruhe 1995, Anhang A.5 S. 12-17